PROCESSO DE TREFILAÇÃO

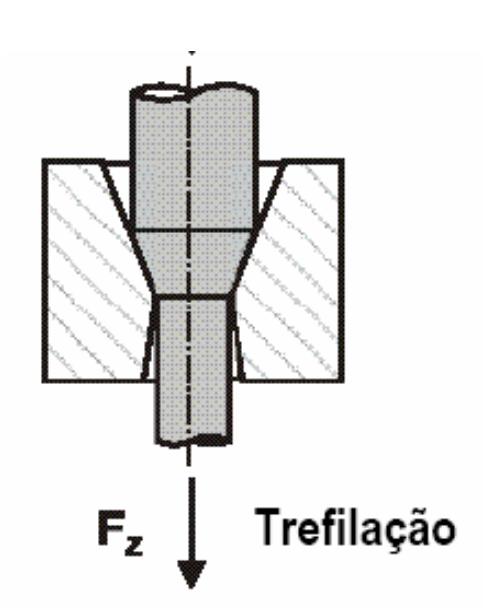


TREFILAÇÃO

O QUE É?

A trefilação é uma operação em que a matéria-prima é estirada através de uma matriz em forma de canal convergente (FIEIRA ou TREFILA) por meio de uma força tracionadora aplicada do lado de saída da matriz.

O escoamento plástico é produzido pela combinação da força tracionadora com as forças compressivas provenientes da reação da matriz sobre o material.

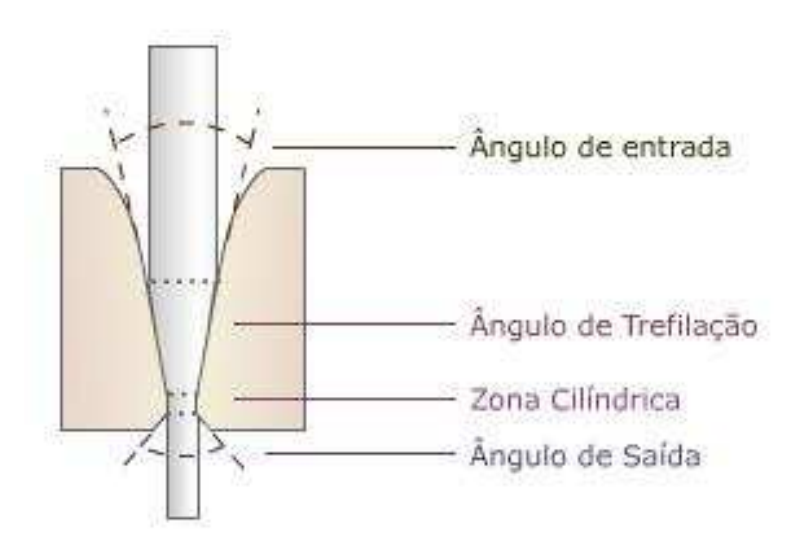


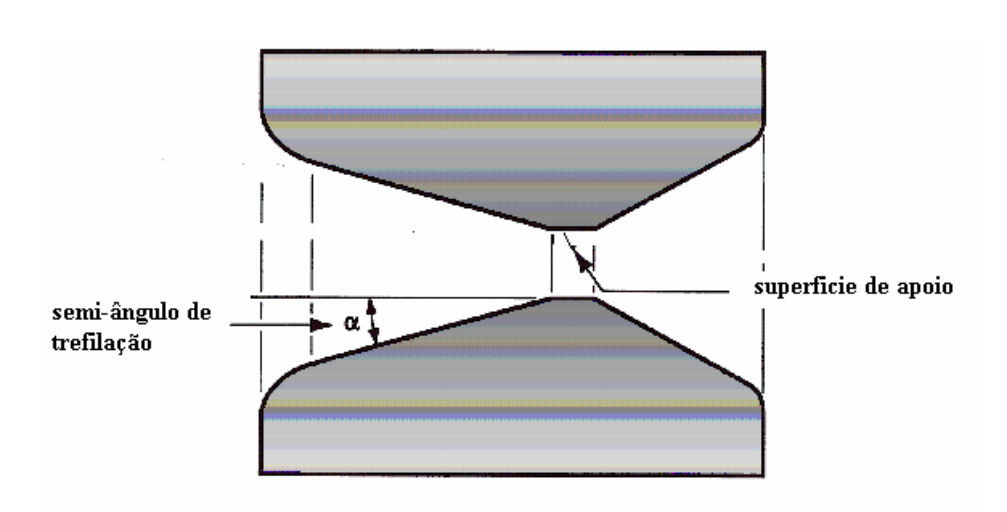


DISPOSITIVO BÁSICO: A FIEIRA

A fieira é o dispositivo básico da trefilação, e compõe todos os equipamentos trefiladores. Sua geometria é dividida em quatro zonas:

- de entrada
- de redução (ά = semi-ângulo de trefilação)
- de calibração (zona cilíndrica)
- de saída



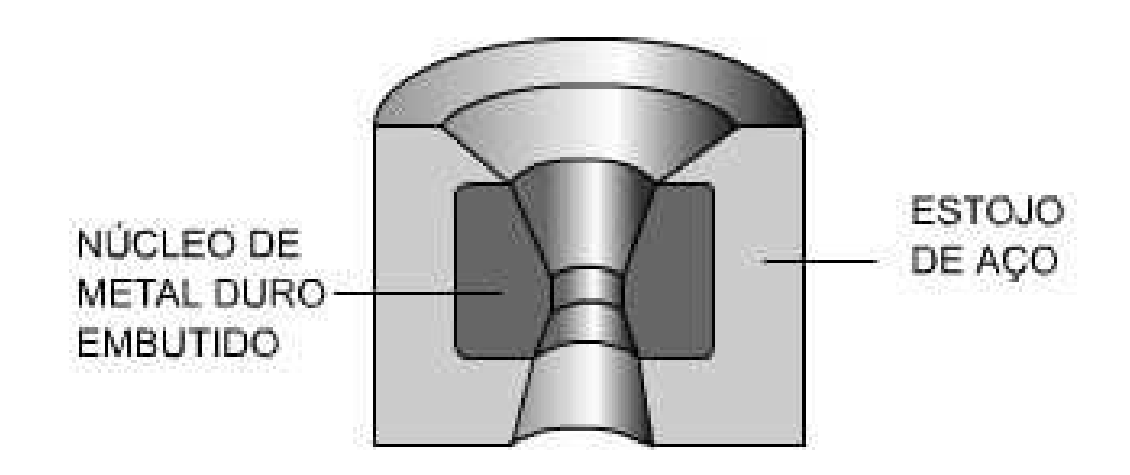




MATERIAL DA FIEIRA:

O material é escolhido conforme as exigências do processo (dimensões, esforços) e o material a ser trefilado. Os materiais mais utilizados são:

- □ Carbonetos sinterizados (sobretudo WC Widia)
- □ Aços de alto C revestidos de Cr (cromagem dura)
- □ Aços especiais (Cr-Ni, Cr-Mo, Cr-W, etc.)
- □ Ferro fundido branco
- □ Cerâmicos (pós de óxidos metálicos sinterizados)
- □ Diamante (p/ fios finos ou de ligas duras)





PRODUTOS MAIS COMUNS

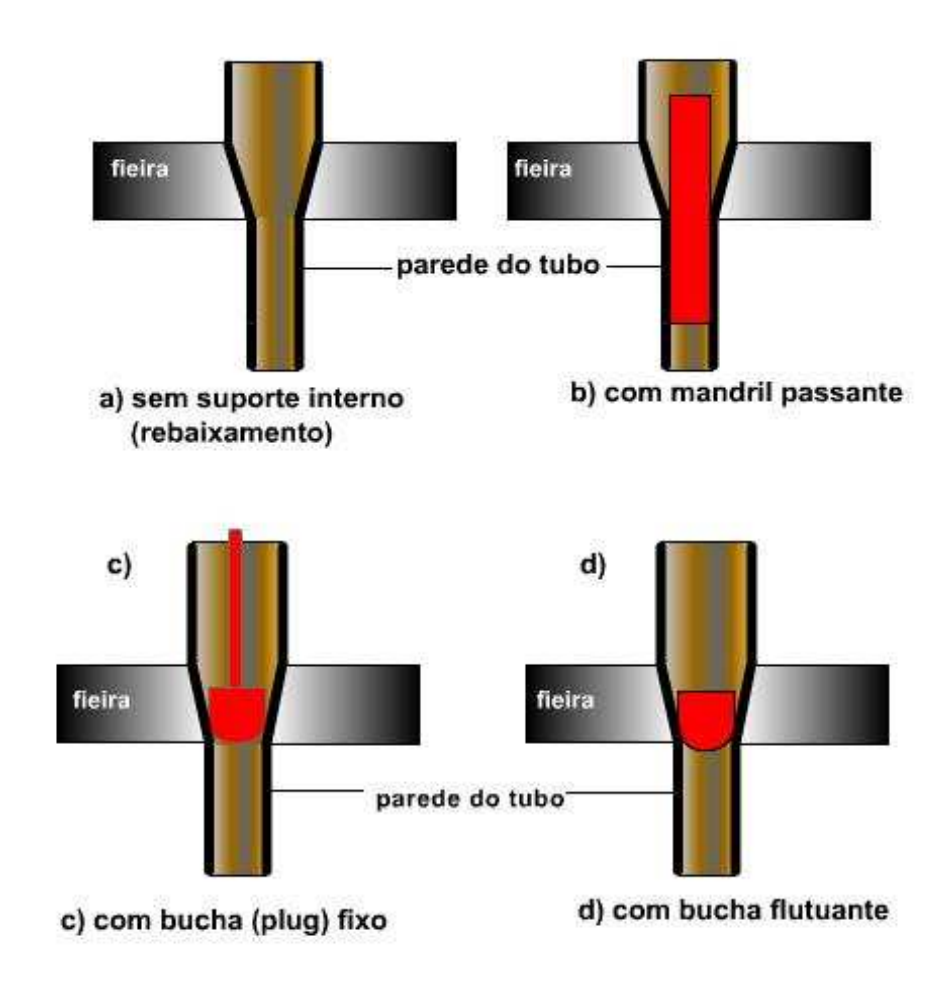
Barras	Ø < 25mm	
Arames	Comuns	Grossos: $\emptyset = 525$ mm
		Médios: Ø = 1,65,0mm
		Finos: Ø = 0,71,6mm
	Especiais	Ø < 0,02mm
Tubos	Trefilados de diferentes formas	



VANTAGENS

- O material pode ser estirado e reduzido em secção transversal mais do que com qualquer outro processo;
- □ A precisão dimensional obtida é maior do que em qualquer outro processo exceto a laminação a frio, que não é aplicável às bitolas comuns de arames;
- □ A superfície produzida é uniformemente limpa e polida;
- □ O processo influi nas propriedades mecânicas do material, permitindo, em combinação com um tratamento térmico adequado, a obtenção de uma gama variada de propriedades com a mesma composição química.

MÉTODOS DE TREFILAÇÃO DE TUBOS



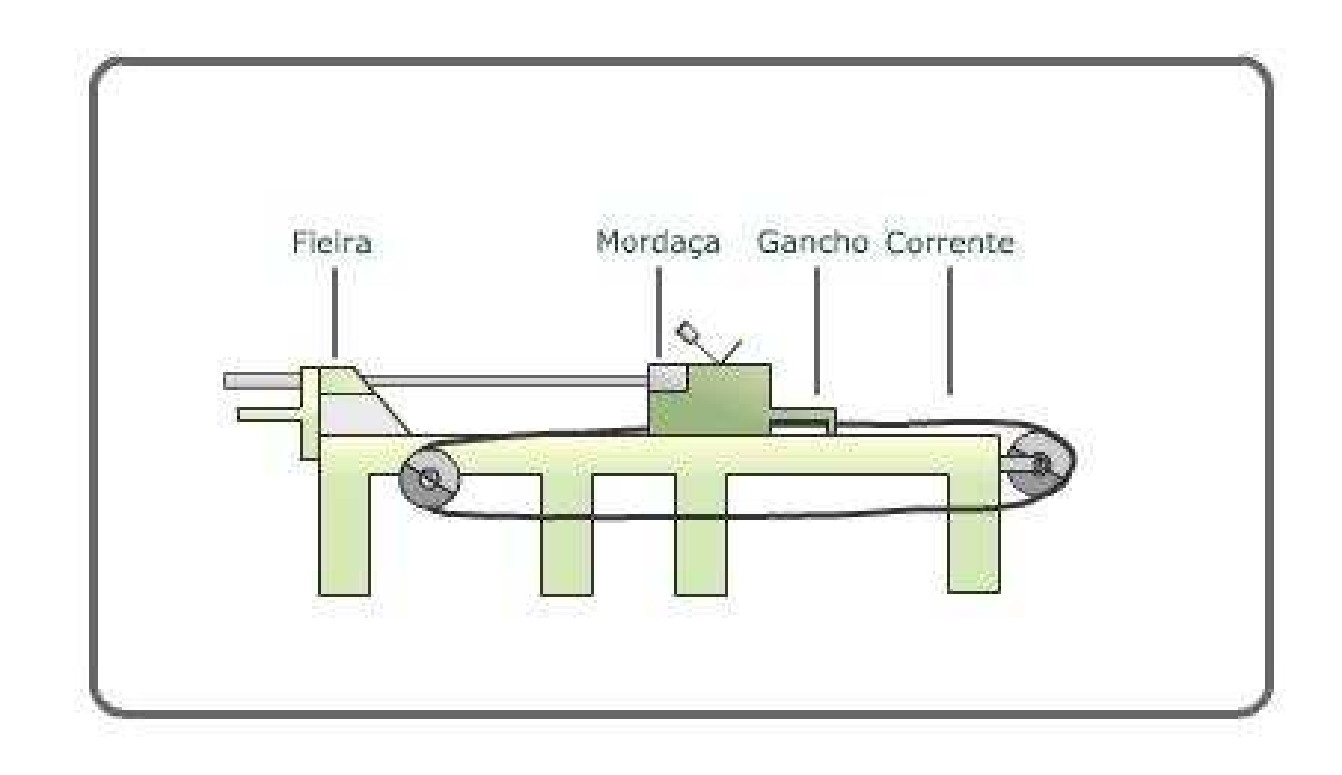


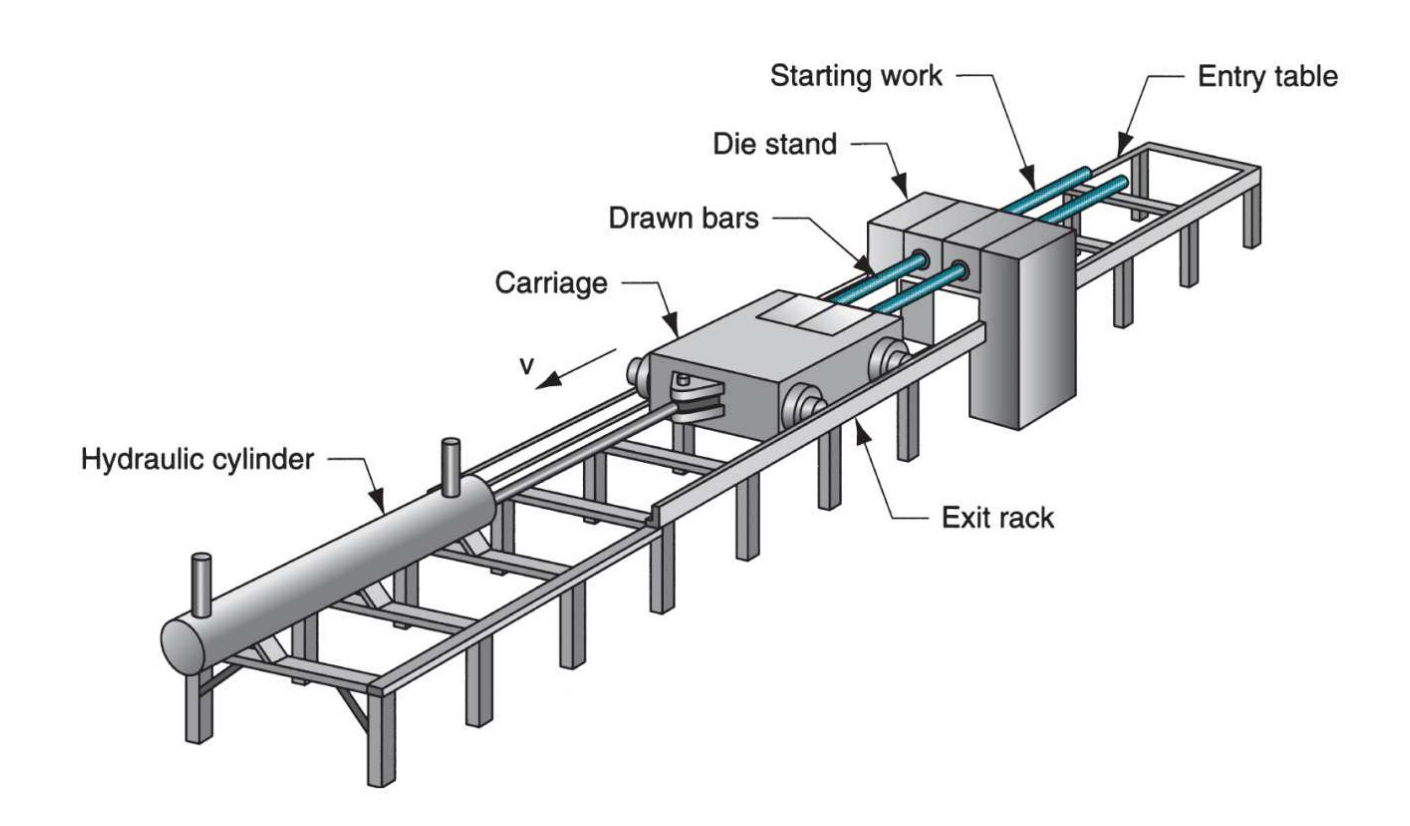
EQUIPAMENTOS

Classificam-se em dois grupos:

- BANCADAS DE TREFILAÇÃO Utilizadas para produção de componentes não bobináveis, como barras e tubos.
- •TREFILADORAS DE TAMBOR Utilizadas para produção de componentes bobináveis, ou seja, fios e arames.

BANCADA DE TREFILAÇÃO Na figura ao lado pode-se observar o aspecto esquemático de uma bancada de trefilação, com os respectivos componentes.



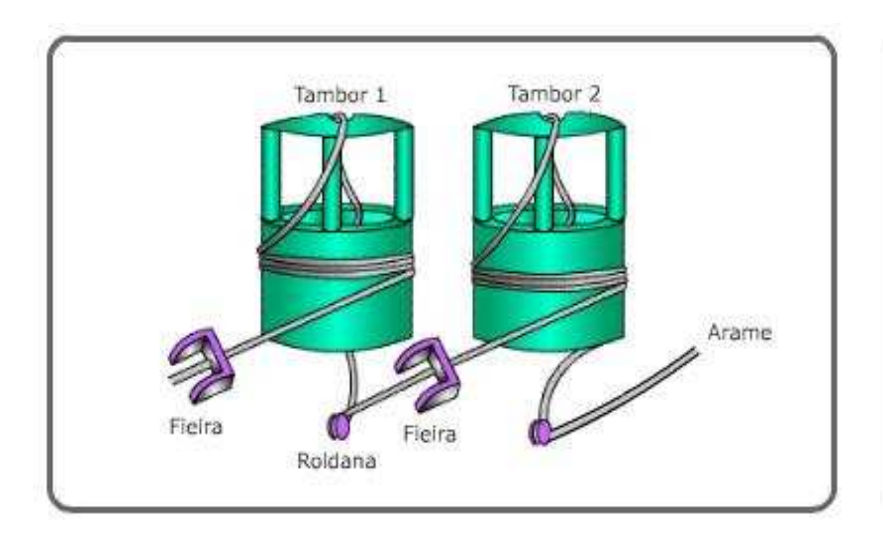


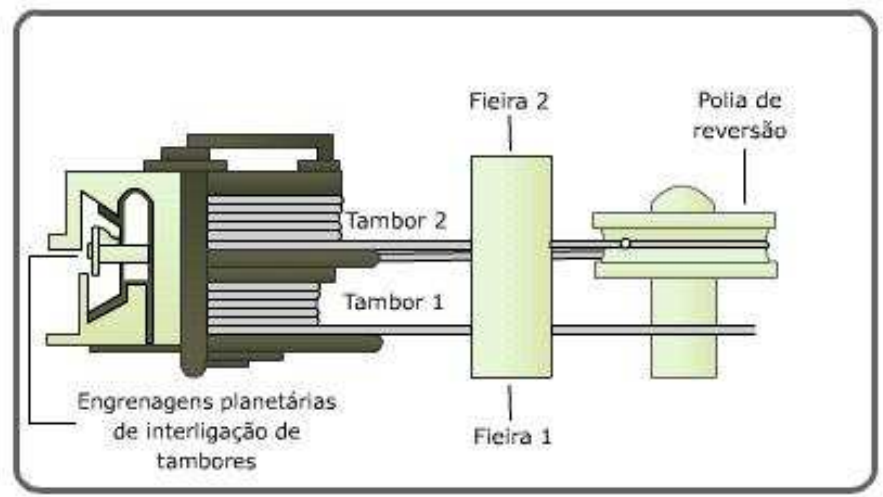
М

TREFILADORAS DE TAMBOR

Classificam-se em três grupos:

- Simples (um só tambor) Para arames grossos
- Duplas Para arames médios
- Múltiplas (contínuas) Para arames médios e finos



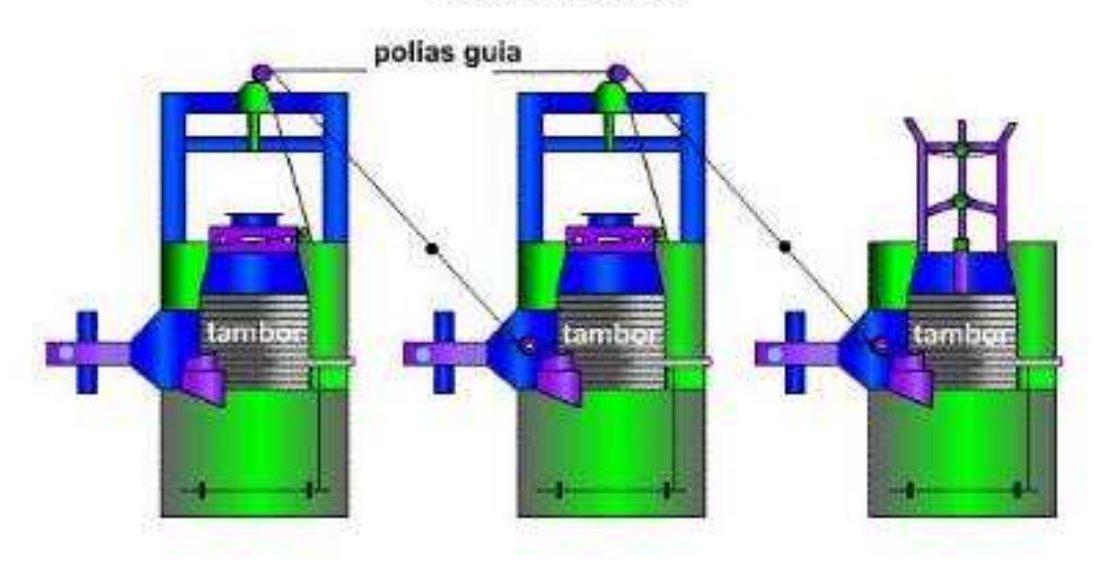


M

Os elementos das máquinas de trefilação dependem das características de cada máquina. Existem entretanto componentes básicos que usualmente sempre estão presentes nas trefiladoras. Eles são:

- □ Carretel alimentador
- □ Porta-fieira
- ☐ Garra ou mordaça para puxar a primeira porção do arame
- □ Tambor para enrolar o arame trefilado

Máquina de estiramento de arame do Sistema Acumulativo



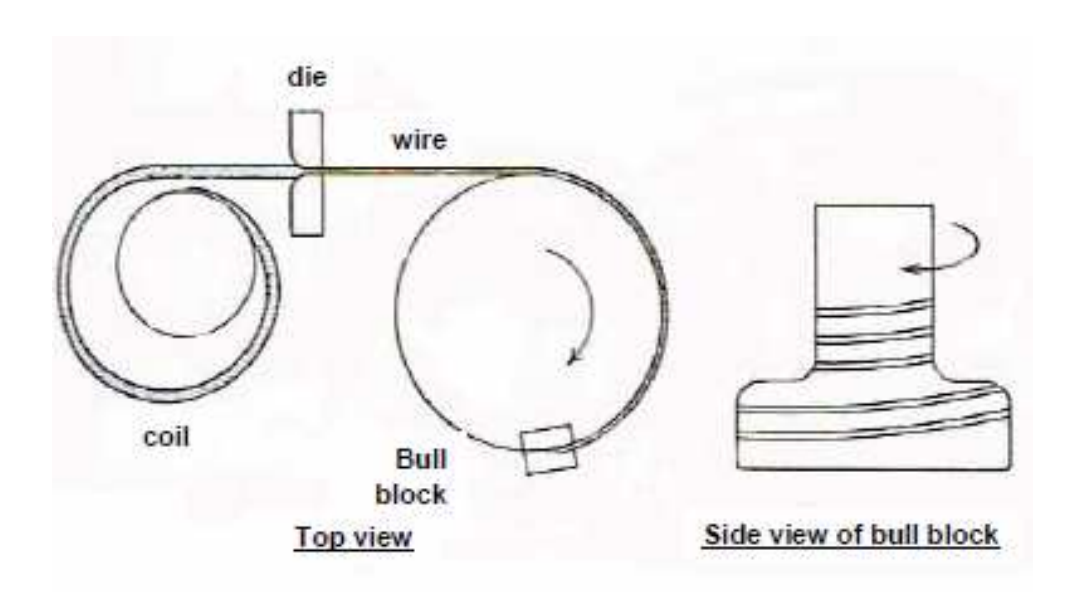
A ponta do arame, depois de sair de uma matriz, é enfiada num olhal no topo do tambor, passando por polia de guia e para a matriz seguinte.

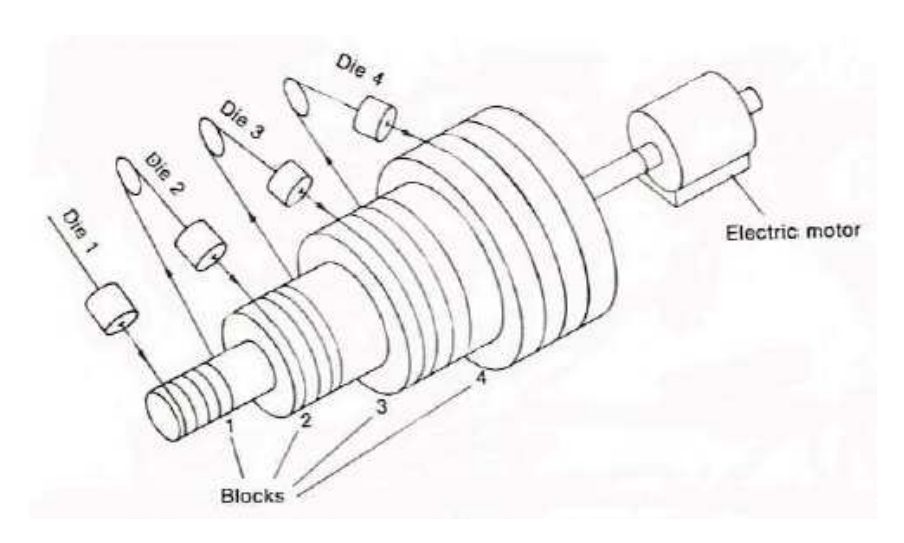


TREFILAÇÃO CONTINUA DE FIOS PESADOS



Máquina Rotativas







O PROCESSO PRODUTIVO

- Matéria-prima: Fio-máquina (vergalhão laminado a quente)
- Descarepação:
 - Mecânica (descascamento), dobramento e escovamento.
 - Química (decapagem): com HCl ou H₂S0₄ diluídos.
- Lavagem: em água corrente.
- Recobrimento: comumente por imersão em leite de cal Ca(OH)₂ a 100℃ a fim de neutralizar resíduos de ácido, prote ger a superfície do arame, e servir de suporte para o lubrificante de trefilação.
- Secagem (em estufa) Também remove H₂ dissolvido na superfície do material.
- Trefilação Primeiros passes a seco. Eventualmente: recobrimento com Cu ou Sn e trefilação a úmido.

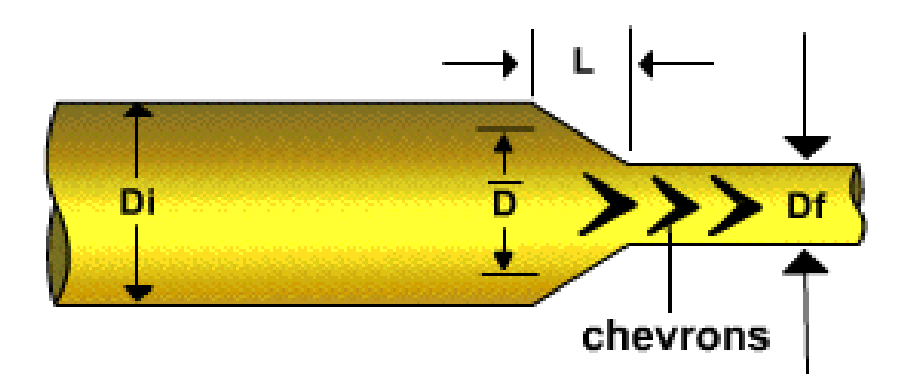
M

DEFEITOS EM TREFILADOS

Podem resultar:

- de defeitos na matéria-prima (fissuras, lascas, vazios, inclusões);
- do processo de deformação.

Exemplo de defeito:Trincas internas em ponta de flecha ("chevrons") - veja figura abaixo



$$\overline{D} = \frac{Di + Df}{2}$$



TRATAMENTO TÉRMICO DE FIOS TREFILADOS

RECOZIMENTO:

Indicação: principalmente para arames de baixo carbono

Tipo: subcrítico, entre 550 a 650℃

Objetivo: remover efeitos do encruamento.

PATENTEAMENTO:

Indicação:aços de médio a alto carbono (C> 0,25 %)
Tipo: aquecimento acima da temperatura crítica (região g) seguido
de resfriamento controlado, ao ar ou em banho de chumbo mantido
entre 450 e 550℃. A seguir, encruamento em trefila.

Objetivo: obter uma boa combinação de resistência e ductilidade, pela estrutura resultante de perlita fina ou bainita encruadas.



PRODUTOS TREFILADOS: FIOS DE AÇO















PRODUTOS TREFILADOS

CONDUTORES ELÉTRICOS











PRODUTOS TREFILADOS

TUBOS

MICROTUBOS





M

Parâmetros de Trefilação

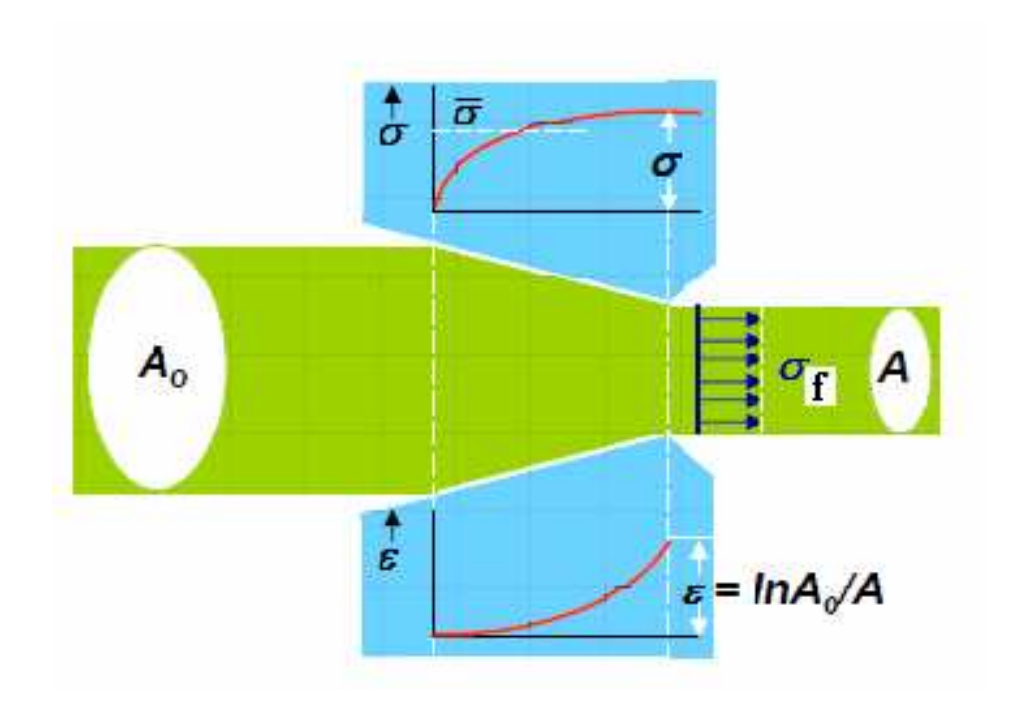
- Os mais importantes são:
 - Quantidade de redução (r)

$$A_0$$
 = seção inicial

- semi-ângulo de trefilação (α)
- Lubrificação
- propriedades mecânicas do arame antes, durante e após redução

$$r = \left(1 - \frac{A}{A_0}\right) x 100$$

Métodos analíticos de cálculo





Método da deformação homogênea

$$W = F.L = \sigma_f vol = vol.u$$

$$\sigma_f = u$$

$$\varepsilon = \ln \frac{A_0}{A} = \ln \frac{1}{1 - r}$$

$$\sigma_f = \overline{Y}.\ln\left(\frac{A_0}{A}\right)$$

ou

$$\sigma_f = \overline{Y}.\ln\left(\frac{1}{1-r}\right)$$

 σ_f = tensão frontal

Y = tensão de escoamento média

r = redução

Seção circular

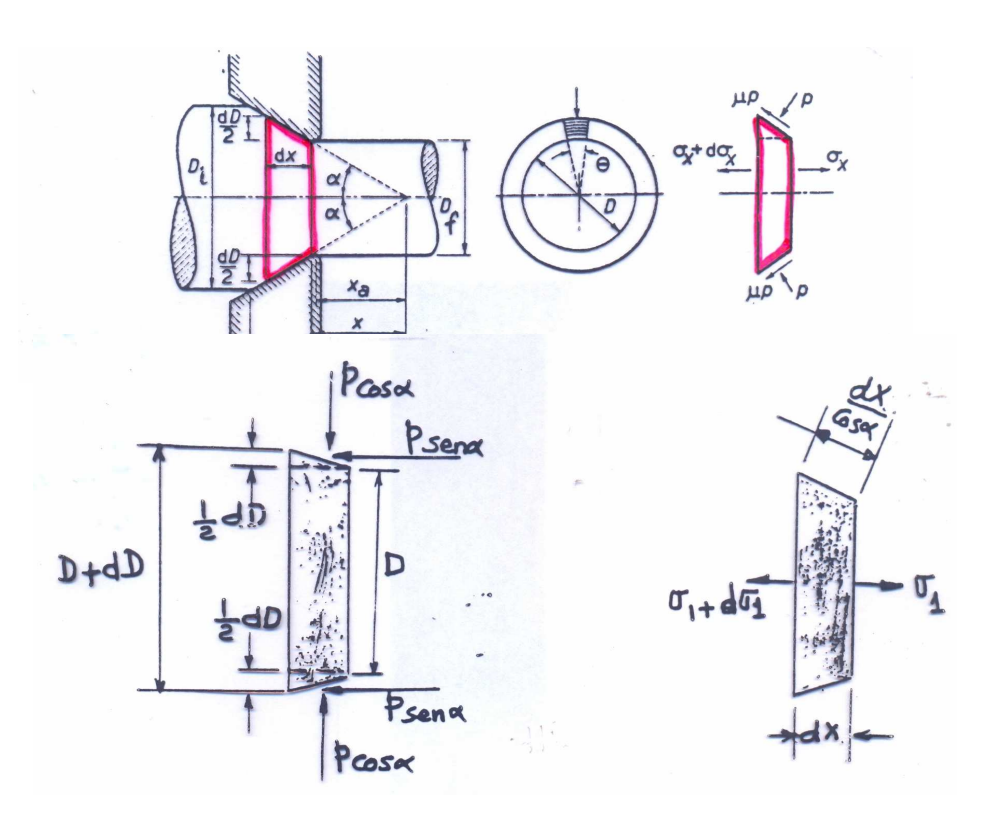
$$\sigma_f = \overline{Y}.\ln\left(\frac{D_0}{D_f}\right)^2 = \overline{Y}.2\ln\left(\frac{D_0}{D_f}\right)$$

 $\sigma_f \le \sigma_e$ do material já trefilado

Barras (estado plano deformação)

$$\sigma_f = \frac{2}{\sqrt{3}}\overline{Y}.\ln\left(\frac{A_0}{A}\right)$$

Método dos Blocos



Equação de equilíbrio na direção 1:

$$(\sigma_1 + d\sigma_1)\frac{\pi}{4}(D + dD)^2 - \sigma_1\frac{\pi D^2}{4} + \frac{\mu p \cos \alpha \pi D dx}{\cos \alpha} + p sen \alpha \left(\pi D\frac{dx}{\cos \alpha}\right) = 0$$

Dividindo por π , por D

$$\frac{\sigma_1 dD}{2} + \frac{Dd\sigma_1}{4} + \mu p dx + p dx \tan \alpha = 0$$

$$como dx = \frac{dD}{2 \tan \alpha}$$

$$\frac{\sigma_1 dD}{2} + \frac{Dd\sigma_1}{4} + \frac{\mu p dD}{2 \tan \alpha} + \frac{p dD}{2} = 0$$

Multiplicando por 4

$$Dd\sigma_1 + 2dD[\sigma_1 + p(1 + \mu \cot g\alpha)] = 0$$

para μ e α pequenos \Longrightarrow $\sigma_2 = \sigma_3 = -p$



$$\sigma_2 = \sigma_3 = -p$$

Usando Tresca

$$\sigma_1 + p = \overline{Y}$$

Admitindo
$$Y = \overline{Y}$$
 e constante



$$p = \overline{Y} - \sigma_1$$

$$Dd\sigma_1 + 2dD[\sigma_1 + (\overline{Y} - \sigma_1)(1 + \mu \cot g\alpha)] = 0$$

considerando

$$B = \mu \cot g \alpha$$

$$Dd\sigma_1 + 2dD[-\sigma_1 B + \overline{Y}(1+B)] = 0$$

$$Dd\sigma_1 - 2dD[\sigma_1 B - \overline{Y}(1+B)] = 0$$

$$\frac{d\sigma_1}{\sigma_1 B - \overline{Y}(1+B)} = 2\frac{dD}{D}$$

Integrando e sabendo que B e Y são constantes

$$\frac{1}{B}\ln[B\sigma_1 - \overline{Y}(1+B)] = 2\ln D + C$$

$$B\sigma_1 - \overline{Y}(1+B) = CD_B^2$$

Para
$$D=D_0$$
 $\sigma_1=0$



$$\sigma_1 = 0$$

$$C = -\frac{\overline{Y}(1+B)}{D_0^{2B}}$$

Para
$$D=D_f$$
 $\sigma_1 = \sigma_f$



$$\sigma_1 = \sigma_f$$

$$B\sigma_f = \overline{Y}(1+B) + \left[-\overline{Y}(1+B)\left(\frac{D_f}{D_0}\right)^2\right]$$

$$\sigma_f = \overline{Y} \frac{(1+B)}{B} + \left[1 - \left(\frac{D_f}{D_0} \right)^2_{B} \right]$$



Solução Final

Fios:

$$\sigma_f = \overline{Y} \frac{(1+B)}{B} [1-(1-r)^B]$$

ou
$$\sigma_f = \overline{Y} \frac{(1+B)}{B} \left[1 - \left(\frac{D_f}{D_0} \right)^{2B} \right]$$

$$r = redução$$

$$B = \mu \cot g \alpha$$

μ= coeficiente de atrito

Barras:

$$\sigma_f = \frac{2}{\sqrt{3}} \overline{Y} \frac{(1+B)}{B} \left[1 - (1-r)^B \right]$$

M

Cálculo de redução máxima

Considera-se: $\sigma_f = \overline{Y}$

$$\frac{\sigma_f}{\overline{Y}} = \frac{(1+B)}{B} \left[1 - (1-r)^B \right] = 1$$

Exercício: Obtenha a redução máxima possível para os seguintes casos:

- a) Considerando somente o trabalho ideal (método da deformação homogênea);
- b) Admitindo $\mu = 0.05$ e $\alpha = 10^{\circ}$

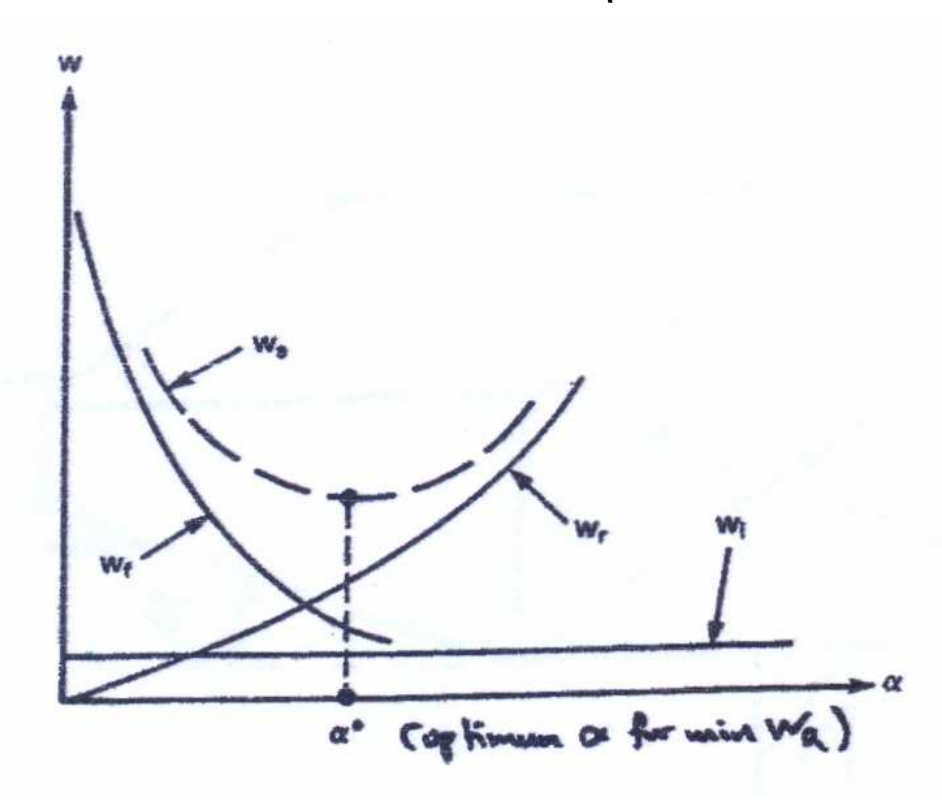
100

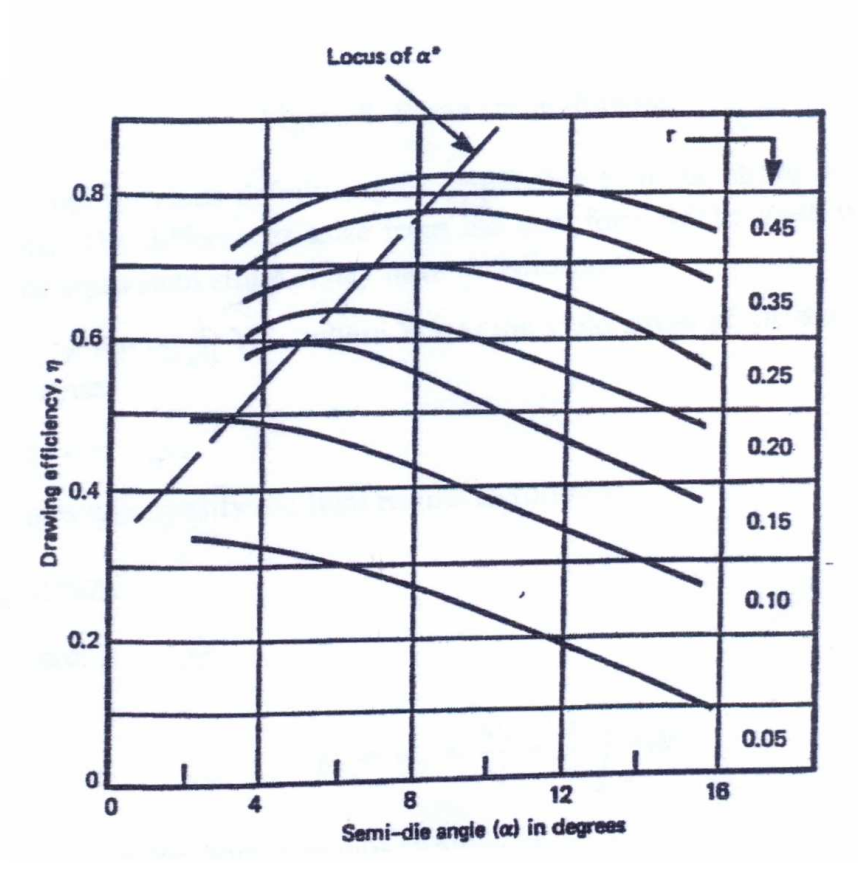
Eficiência η

$$W_R = W_i + W_f + W_r$$

$$\eta = \frac{W_i}{W_R}$$

Normalmente $0.5 \le \eta \le 0.65$







Exemplo 1

- Um material com uma curva tensão-deformação real representada por $\overline{\sigma} = 10000\overline{\varepsilon}^{0.5} \, psi$ é usado em um processo de trefilação de fios.Pede-se:
 - (a) considerando somente a deformação homogênea calcule a força de trefilação para reduzir um fio desse material de 0,2 in para 0,15 in.
 - (b) Assumindo que o trabalho devido ao atrito mais o trabalho redundante corresponde a 40% do trabalho ideal de deformação, estime a força real para trefilar o fio do item (a); calcule a máxima redução em área possível num único passe;



Exemplo 2

Uma placa de metal de 10 mm de largura e 0,5 mm de espessura é trefilada para 0,3 mm de espessura numa matriz cujo semi-ângulo é 10° . A tensão de escoamento média é 550 N/mm^2 e o coeficiente de atrito μ =0,08.

- (a) Estime a carga de trefilação;
- (b) se o trabalho total feito aparece na forma de calor , qual seria o aumento de temperatura da placa. Dado: γ_{metal} = 8,8x10³ kg/m³: C = 400 J/kg°C.

M

Exemplo 3

- a) Determine a força de trefilação necessária para produzir 20% de redução num fio de aço inox com 10 mm de diâmetro. Dado: $\alpha = 6^{\circ}e \ \mu = 0.09; \ \overline{\sigma} = 1300\overline{\varepsilon}^{0.3}MPa$
- b) Determine a máxima redução possível.
- c) Se o fio é trefilado a uma velocidade de 0,5 m/s, determine a potência requerida para produzir a deformação.

M

Exemplo 4

Uma tira de aço de 10 mm de largura e 0,4 mm de espessura é trefilada para 0,3 mm de espessura numa matriz cujo semi-ângulo é 12°, a uma velocidade de 2,0 m/s. A tensão de escoamento média é $250\sqrt{3}$ N/mm² e o coeficiente de atrito μ =0,1.

- (a) Qual o trabalho total gasto para trefilar uma bobina de 50 kg. Dado γ_{aco} = 7,8x10³ kg/m³.
- (b) Se a eficiência do processo é 85%, qual a potência requerida e a energia consumida pela bobina;
- (c) Qual deve ser o imput de corrente do motor principal de 220V.



Referências Adicionais

- -Dieter, G.E. Mechanical metallurgy, 1988, SI metric edition, McGraw-Hill, ISBN 0-07-100406-8.
- -Edwards, L. and Endean, M., Manufacturing with materials, 1990, Butterworth Heinemann, ISBN: 0-7506-2754-9.
- -Beddoes, J. and Bibbly M.J., Principles of metal manufacturing process, 1999, Arnold, ISBN: 0-470-35241-8.